

FFS 모드에서 표면 앵커링 에너지에 따른 전기광학특성의 연구

Effect of Surface anchoring energy on the Electro-Optical Characteristics in the Fringe-Field Switching mode

유인호¹, 총첸신¹, 장원근², 이명훈¹, 이승희^{1,a}

(In Ho Yu¹, Zhen-xin Zhong¹, Won-gun Jang², Myong-Hoon Lee¹, Seung Hee Lee^{1,a})

Abstract

Liquid crystal (LC) alignment using a photoalignment method by irradiation of polarized ultraviolet (UV) on an alignment layer has been investigated. Photoalignment method exhibits weaker anchoring energy than rubbing method so that we have studied electro-optic characteristics of fringe-field switching (FFS) mode with alignment layers using the photo and rubbing alignment methods. The cell using photo alignment layer shows lower threshold and operation voltage than those using rubbed alignment layer. Also, the former method shows higher transmittance than that of the latter.

Key Words : Photoalignment, Rubbing, Anchoring energy, FFS mode

1. 서 론

최근 액정 디스플레이 (LCD)는 노트북, 테스크탑 모니터, 텔레비전, 핸드폰 그리고 personal digital assistants (PDA) 등에 많이 적용되고 있다. Cathode-ray tube (CRT)에 비해 LCD의 장점은 구동전압이 낮은 것과 언제 어디서나 정보를 제공할 수 있도록 개인용으로 휴대할 수 있다는 것이다. LCD는 저전압 구동을 하지만, 휴대하기 위해서는 구동전압이 낮아야 하기 때문에 구동전압을 낮추는 것에 대한 연구는 계속되고 있다. 그로 인하여 사용시간의 연장을 위한 저 전력 소비로 에너지 절약 차원에서 친환경적인 요소를 제공할 수 있기 때문이다.

현재 액정 배향에는 주로 러빙법이 사용되고 있지만 러빙 공정은 직접적인 물리적 접촉으로 인해 여러 가지 문제를 야기한다. 이런 결점을 극복하기 위하여 비접촉 액정 배향법인 광배향법이 대두되고 있다[1-4]. 광배향법은 러빙법에 비해 작은 표면 앵커링(anchoring) 에너지를 갖는데 일반적으로 러빙이 적용된 배향막의 경우에는 앵커링 에너지가 $1 \times 10^{-3} \text{J/m}^2$ 를 갖고 광배향법과 같이 약한 앵커링 에너지를 갖는 배향막의 경우에는 $1 \times 10^{-6} \text{J/m}^2$ 로 정의된다[5].

Fringe-field switching (FFS)[5,6] 모드에서 초기 액정들은 90°로 교차된 편광판 사이에 수평으로 배열되어 있고, 액정의 광축과 편광판의 투과축이 일치되어 있으면 흑 상태를 나타낸다. 전압을 인가하면 대부분의 액정 방향자들은 회전하여 편광판의 투과축과 일치하지 않게 되어 명 상태가 된다. 액정 셀에서 셀 갭 (d)이 작아지면 액정 방향자들은 표면 앵커링 에너지에 더 많은 영향을 받으므로 액정을 회전시키는데 더 많은 전기 에너지가 필요하기 때문에 문턱전압과 구동전압이 높아진다. 그러나 표면 앵커링 에너지가 약할 경우 더 낮은 전기 에너지로도 액정을 회전시키킬 수 있어 비접촉식 방법이면서 표면 앵커링 에너지가 낮은 광배향법을 FFS 모드에 대해 적용한 연구가 있었다[7].

본 논문에서는 FFS 모드에서 러빙법과 광배향법을 이용하여 셀을 제작하고 표면 앵커링 에너지에 따른 셀의 전기광학특성 변화를 연구하였다.

2. 셀 구조 및 구동원리

그림 1은 프린지 전기장(Fringe Field)에 의해 구동되는 FFS 모드의 횡단면을 보여주고 있다. 전극은 상부 기판에는 존재하지 않고 하부 기판에만 절연층

을 사이에 두고 공통전극과 슬릿형태의 화소전극이 존재한다. 이 구조에서는 하부 편광판을 통과한 선 편광된 빛이 액정 층을 지나면서 위상지연을 일으키지 않아 상부 편광판의 흡수축에 흡수되어 흑 상태를 보인다. 전압을 인가하면 프린지 전기장이 생성되어 화소전극 위까지 액정 분자들이 회전하여 좋은 명 상태를 보여준다. 표면 앵커링 에너지가 낮은 배향막을 사용한다면 낮은 전압에서도 액정 분자들이 회전할 수 있기 때문에 문턱전압은 낮아질 것이다. 약한 표면 앵커링 에너지를 갖는 배향막을 사용한 in-plane switching (IPS) 모드의 문턱전압 (V_{th})은 다음과 같다[8].

$$V_{th} = E_{th} \times l = \{\pi l / (d + 2b)\} \cdot (K_{22}/\epsilon_0 + \Delta\epsilon)^{1/2} \quad (1)$$

식 (1)에서 l 은 화소전극 사이의 거리이고 d 는 셀 갭, b 는 extrapolation length, K_{22} 는 twist 탄성상수.

낮아진다는 것을 알 수 있다.

3. 시뮬레이션 및 실험

3.1 시뮬레이션

본 연구에서는 FFS 모드의 전기광학 특성을 분석하기 위해 2차원 시뮬레이터 (LCD Master, Shintech, Japan)를 적용하였다. 액정 분자의 pretilt 각은 2° 로 하였고 d 는 $4\mu m$ 로 하였다. 액정의 Δn 은 0.09로 하여 $d\Delta n$ 을 $0.36\mu m$ 로 하였다. 액정의 유전율 이방성 ($\Delta\epsilon$)은 -4.0, 탄성상수 K_{11} 은 13.5pN , K_{22} 는 6.5pN , K_{33} 은 15.1pN 이다. 화소전극의 폭 (w)은 $3\mu m$, 화소전극 사이의 거리 (l)는 $4.5\mu m$ 이다. 광학적 투과율 계산은 2×2 extended Jones matrix[9]를 적용하였다.

시뮬레이션은 다음의 두 가지 표면 앵커링 에너지 조건에서 하였는데, 첫 번째는 러빙을 통하여 강한 앵커링 에너지를 갖는 배향막의 경우에는 $1\times 10^{-3}\text{J/m}^2$ 을 적용하였고, 두 번째는 광배향을 통하여 약한 앵커링 에너지를 갖는 배향막의 경우로 $1\times 10^{-6}\text{J/m}^2$ 을 적용하였다.

3.2 실험

표면 앵커링 에너지에 대한 전기광학특성을 비교하기 위하여 두 개의 셀을 제작하였다. 먼저 첫 번째 셀 (C-1)은 하부 기판에만 광배향을 하고 상부 기판은 러빙법을 이용하여 제작하였고, 두 번째 셀 (C-2)은 상-하부 기판 모두 러빙법을 이용하여 제작하였다. 본 실험에서 사용한 광배향막 재료는 chloromethylated polyimide (CMPI)이다[11]. 그림 2는 CMPI의 고분자 구조를 나타낸 것이다. 하부 기판

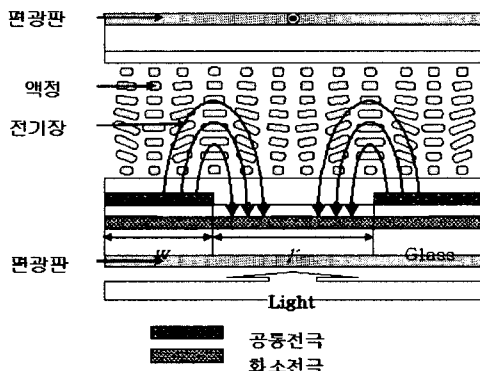


그림 1. 옆에서 본 FFS의 밝음 상태에서 액정 방향자.

Fig. 1. Cross-sectional view of the FFS cell structure and LC orientation in a white state.

ϵ_0 는 진공에서의 유전율, $\Delta\epsilon$ 는 유전율 이방성을 나타낸다. 문턱전압을 낮추기 위해서는 각각의 변수 d , b , ϵ_0 와 $\Delta\epsilon$ 의 절대값은 크고, l 과 K_{22} 가 작아야 한다는 것을 식 (1)을 통해 알 수 있다. 또한 앵커링에너지가 커질수록 b 값은 0에 가까워지고 작아질수록 b 값은 커지므로 앵커링에너지가 작아질수록 문턱전압도

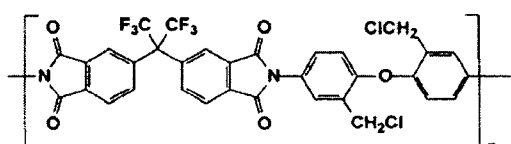


그림 2. 클로로메틸레이티드 폴리이미드 (CMPI) 고분자 구조.

Fig. 2. Polymer structure of chloromethylated polyimide (CMPI).

의 광배향 공정은 기판 위에 CMPI를 코팅시킨 후 100°C 에서 10분간 pre-bake하고 200°C 에서 2시간 동안 main-bake한 후 ultraviolet (UV)를 조사하였

다. CMPI는 추가적인 이미드화 공정 없이 잘 코팅되는 특성을 보인다.

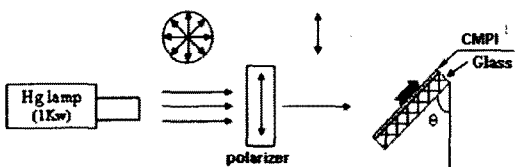


그림 3. 사용된 UV 조사 장치.

Fig. 3. The used UV light irradiation system.

그림 3은 하부 기판에 UV를 조사하는 공정을 나타낸 그림으로 하부 기판에 선편광된 UV를 기판의 수직 방향에 대해 45° 를 이루게 하고 15mW/cm^2 의 에너지로 5분 동안 조사하였다.

4. 결과 및 고찰

4.1 시뮬레이션 결과

그림 4는 FFS 모드에서 시뮬레이션을 통해 얻은 전압인가에 따른 투과율 곡선(V-T)을 나타내고 있다. 실험에서와 같이 C-1과 동일한 조건을 S-1이라 하고 C-2와 동일한 조건을 S-2로 명하였다. 하부에 약한 앵커링 에너지를 갖는 S-1의 문턱전압과 구동

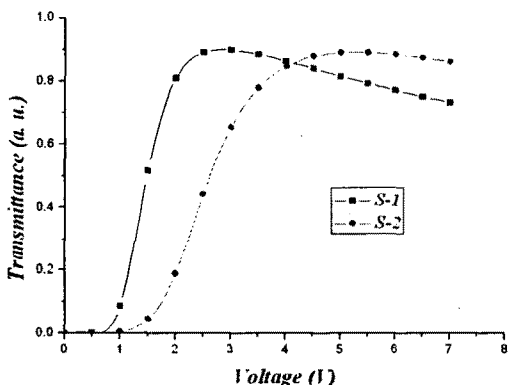


그림 4. 전압인가에 따른 투과율 곡선.

Fig. 4. Calculated voltage-dependent transmittance (V-T) curve.

전압은 각각 1.1V, 3.1V이고, 상.하부에 모두 강한 앵커링 에너지를 갖는 S-2는 각각 1.8V, 5.4V를 나

타내었다. S-1과 같이 앵커링 에너지가 약할 경우 저 전압에서 보다 액정을 쉽게 회전시킬 수 있으므로 S-2와 비교하여 볼 때 낮은 문턱전압과 구동전압을 나타내었다.

4.2 실험 결과

제작된 셀 C-1과 C-2의 셀갭을 측정한 결과 각각 $4.6\mu\text{m}$ 과 $4.7\mu\text{m}$ 이다. 사용한 액정의 유전율 이방성은 -4.0 이고, Δn 은 0.077이다. 그림 5는 spectrophotometer (Minolta, Japan)를 이용하여 측정된 V-T 곡선이다. C-1과 C-2의 구동전압은 각각 6.0V와 7.5V이다. C-1 셀은 C-2 셀에 비해 낮은 구동전압과 문턱전압을 보임과 동시에 더 높은 투과율을 나타내었다. 즉, 광배향을 통한 배향법이 러빙법에 비해 문턱·구동전압이 더 낮으며, 투과율 또한 높은 것을 알 수 있다.

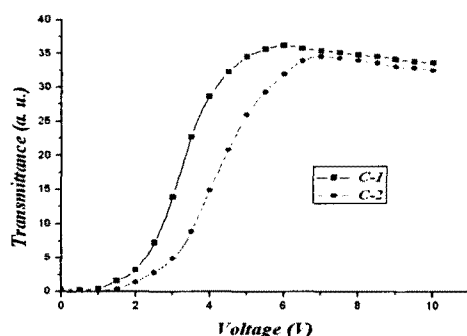


그림 5. 전압인가에 따른 투과율 곡선.

Fig. 5. Measured voltage-dependent transmittance (V-T) curve.

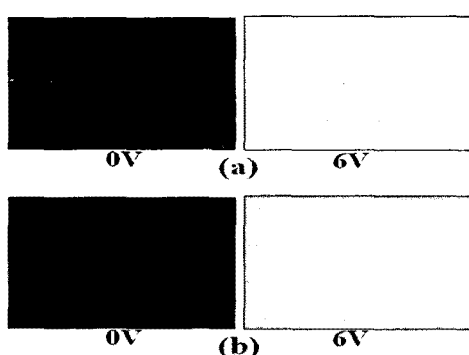


그림 6. (a)C-1과 (b)C-2에 각각 0V와 6V를 인가 한 후의 현미경사진.

Fig. 6. Microphotographs when the applied voltage is 0V and 6V, respectively
(a)C-1 cell and (b) C-2 cell.

그림 6은 동일한 전압인 6V를 각각 인가한 후 배향법에 따른 휙도를 비교하기 위하여 편광현미경을 이용하여 얻은 셀의 사진이다. 하부기판에 광배향을 하여 낮은 앵커링 에너지를 갖는 C-1셀이 상하부 기판에 러빙을 하여 높은 앵커링 에너지를 갖는 C-2셀과 비교하여 보다 좋은 투과율을 나타내었다.

위의 결과에서와 같이 낮은 앵커링 에너지를 갖음으로써 액정을 잡고 있는 힘이 약해져 저전압에서도 액정들이 보다 자유로울 수 있기 때문에 문턱전압과 구동전압이 낮은 특성을 보였고 액정이 전체적으로 잘 회전할 수 있게 되어서 투과율이 고르고 높게 나타나는 특성을 보였다.

5. 결 론

본 연구에서는 FFS 모드에서 약한 앵커링 에너지를 갖는 광배향과 강한 앵커링 에너지를 갖는 러빙을 적용하여 각각 셀을 만들고 전기광학 특성을 비교하여 보았다. 또한 시뮬레이션을 통하여 이론적으로도 실제 실험 값과 비교하여 보았다. 시뮬레이션 및 실험에서도 광배향을 이용하여 약한 앵커링 에너지를 갖는 배향막이 러빙을 이용하여 강한 앵커링 에너지를 갖는 배향막에 비해 더 낮은 문턱전압과 구동전압을 나타내었고 투과율 역시 더 좋은 특성을 나타내었다. 결과적으로 FFS모드에서 하부기판에 광배향 공정을 하여 보다 낮은 앵커링 에너지를 갖게 하면 저전압으로도 액정들이 전극 가운데 부분에서

보다 쉽게 회전할 수 있게 되어 보다 더 낮은 구동전압과 더 높은 투과율을 보여준다.

감사의 글

본 연구는 산업자원부의 지역혁신 인력양성사업 연구결과로 수행되었음.

참고 문헌

- [1] M. Schadt, K. Schmitt, V. Kozinkov and V. Chigrinov, "Surface-induced parallel alignment of liquid crystals by linearly polarized photopolymers", Jpn. J. Appl. Phys., Vol. 31, No. 7, p. 2155, 1992.
- [2] M. Hasegawa and Y. Taira, "Nematic homogeneous alignment by photo depolymerization of polyimide", SID'94, p. 213, 1994.
- [3] M. Nishikawa, B. Taheri and J. L. West, "Polyimide films designed to produce high pretilt angles with a single linearly polarized UV exposure", SID'98, p. 131, 1998.
- [4] 서대식, 이정호, 이창훈, "폴리이미드막 표면에 직선 편광된 UV 광 조사에 의한 프리틸트각 발생과 전기광학특성", 전기전자재료학회논문지, 11권, 10호, p. 911, 1998.
- [5] S. H. Lee, S. M. Lee, H. Y. Kim, J. M. Kim, S. H. Hong, Y. H. Jeong, C. H. Park, Y. J. Choi, J. Y. Lee, J. W. Koh and H. S. Park, "18.1" Ultra TFT-LCD with Super Image Quality and Fast Response Time", SID'01, p. 484, 2001.
- [6] 김미숙, 김향율, 이승희, "Fringe-Field Switching (FFS) 모드에서 액정의 유전을 이방성을 따른 동역학 안정성에 관한 연구", 전기전자재료학회논문지, 16권, 3호, p. 224, 2003.
- [7] S. H. Jung, T. B. Jung, M. S. Kim, S. T. Oh, S. H. Lee, "Electro-optic Characteristics of the FFS mode Depending on Surface Anchoring Energy", KLCC'02, p. 119, 2002.
- [8] M. Yoneya, K. Iwasaki, Y. Tomioka and K. Kondo, "Cell gap margin enlargement of in-plane switching mode liquid crystal displays using weak-anchoring effects", Appl. Phys. Lett., Vol. 74, p. 803, 1999.
- [9] A. Lien, "Extended Jones matrix

- representation for twisted nematic liquid crystal display at oblique incidence", *Appl. Phys. Lett.*, Vol. 57, p. 2767, 1990.
- [10] M O' Nell and S M Kelly, "Photoinduced surface alignment for liquid crystal displays", *J. Phys. D: Appl. Phys.* 33, R67, 2000.
- [11] M-H Lee, X. Li, W. C. Kim, S. H. Lee and H. J. Cha, "A New Polyimide with Multifunction of Alignment and Planarization", *Mol. Cryst. Liq. Cryst.* Vol. 411, p. 407, 2004.